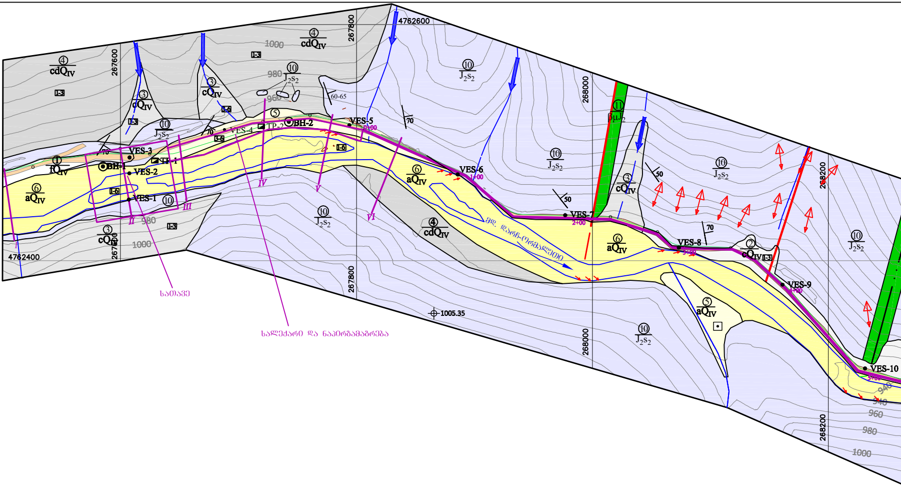

④ cdQ$_{IV}$
267600
③ cQ$_{IV}$
I-3
⑩ J$_2$s$_2$
① fQ$_{IV}$
⑥ aQ$_{IV}$
VES-3
BH-1
VES-2
VES-1
TP-1
I-6
70
I
II
III
③ cQ$_{IV}$
980
1000
4762400
267800
③ cQ$_{IV}$
I-6
3-6
VES-4
TP-2
⑤
BH-2
980
960
⑩ J$_2$s$_2$
60-65
④ cdQ$_{IV}$
1000
IV
V
VI
VES-5
0+00
I-6
4762600
⑩ J$_2$s$_2$
70
⑩ J$_2$s$_2$
⑥ aQ$_{IV}$
VES-6
1+00
④ cdQ$_{IV}$
267800
მდ. დარჩ-ორმალეთი
268000
⑪ βμJ$_2$
⑩ J$_2$s$_2$
50
③ cQ$_{IV}$
VES-7
2+00
⑥ aQ$_{IV}$
50
⑩ J$_2$s$_2$
70
VES-8
3+00
② cQ$_{IV}$
I-3
268200
⑩ J$_2$s$_2$
VES-9
4+00
⑤ aQ$_{IV}$
⑩ J$_2$s$_2$
268000
1005.35
VES-10
5+00
940
940
960
980
1000
268200
სათავე
სალექარი და ნაპირგამაგრება

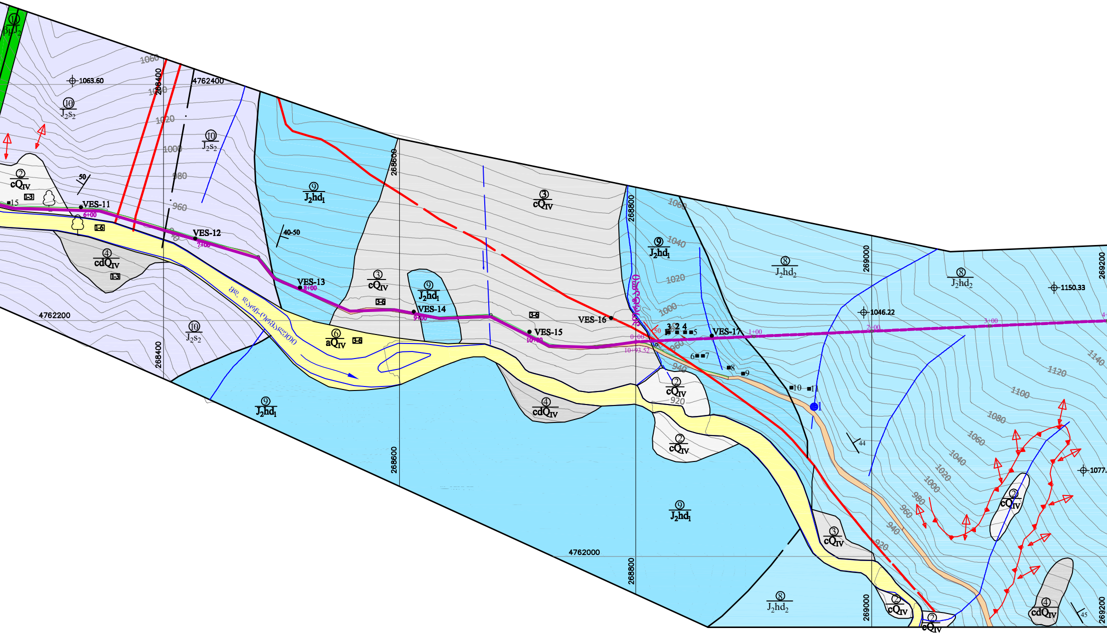

⑪ βμJ₂
⑩ J₂s₂
⑩ J₂s₂
⑩ J₂s₂
② cQIV
④ cdQIV
⑨ J₂hd₁
③ cQIV
③ cQIV
⑨ J₂hd₁
⑥ aQIV
⑨ J₂hd₁
⑨ J₂hd₁
⑧ J₂hd₂
⑧ J₂hd₂
④ cdQIV
② cQIV
② cQIV
⑨ J₂hd₁
③ cQIV
⑧ J₂hd₂
② cQIV
② cQIV
② cQIV
④ cdQIV
1063.60
1046.22
1150.33
1077.
4762400
4762200
4762000
268400
268600
268800
269000
269200
VES-11
VES-12
VES-13
VES-14
VES-15
VES-16
VES-17
6+00
7+00
8+00
9+00
10+00
0+00
10+93.52
1+00
2+00
3+00
50
40-50
44
45
1-3
1-6
3-6
15
3 2 4 5
6 7
8 9
10 11
1
1060
1040
1020
1000
980
960
940
920
1140
1120
1100
1080

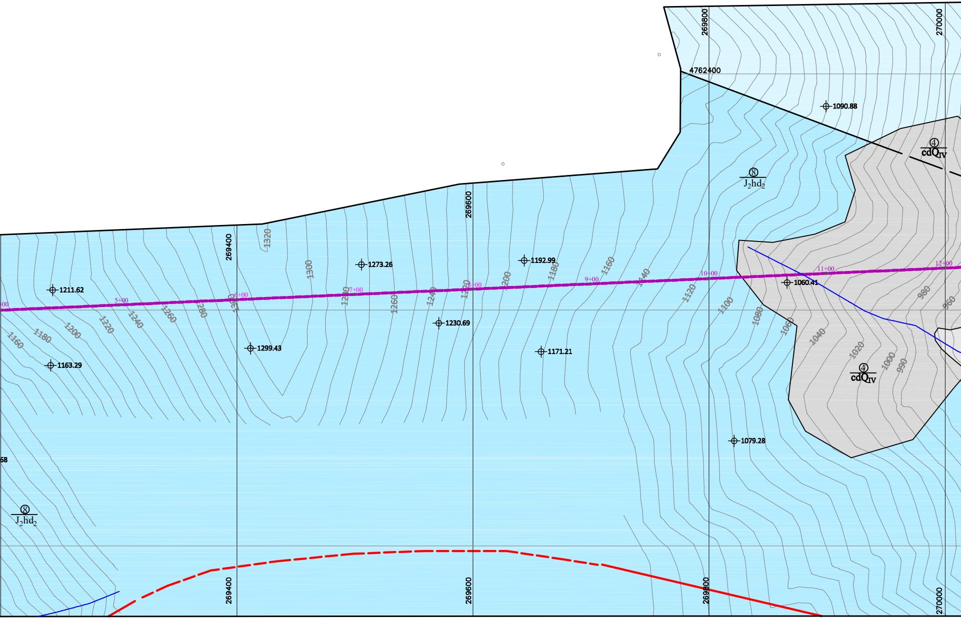

269800
270000
4762400
1090.88
④ cdQIV
⑧ J2hd2
269600
269400
1320
1300
1273.26
1192.99
1180
1160
1140
1120
1100
1080
1060
1040
1020
1000
990
980
960
10+00
11+00
12+00
9+00
8+00
7+00
6+00
5+00
1211.62
1160
1180
1200
1220
1240
1260
1280
1300
1280
1260
1240
1220
1200
1060.41
1230.69
1299.43
1171.21
1163.29
④ cdQIV
1079.28
58
⑧ J2hd2
269400
269600
269800
270000

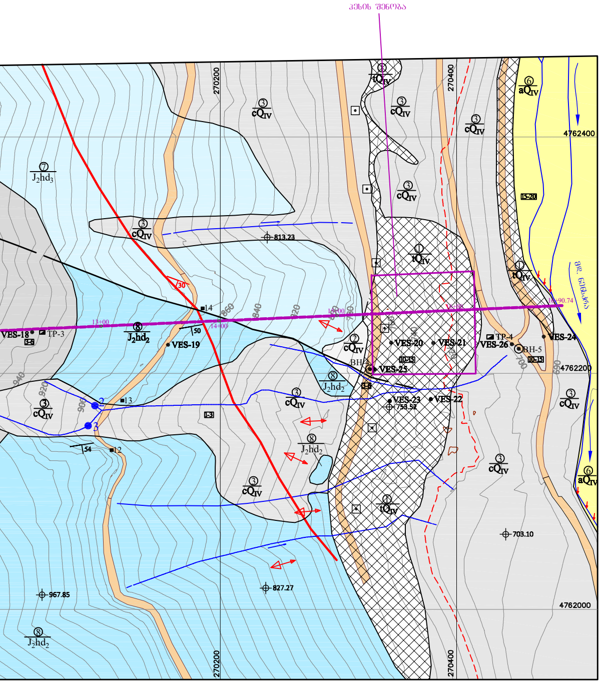
ჰესის შენობა
270200
270400
4762400
4762200
4762000
⑦ J2hd3
③ cQIV
① tQIV
⑥ aQIV
② cQIV
⑧ J2hd2
813.23
703.10
967.85
827.27
753.52
30
50
54
14
13
12
13+00
14+00
15+00
16+00
16+90.74
VES-18
VES-19
VES-20
VES-21
VES-22
VES-23
VES-24
VES-25
VES-26
TP-3
TP-4
BH-4
BH-5
1-3
10-15
15-20
2
3
940
920
900
860
840
820
780
740
720
700
690
მდ. ნენსკრა

პირობითი აღნიშვნები

━	საპროექტო ღერძი
⟋ 10	შრის მიმართება, დაქანება და დახრის კუთხე
—	სინკლინის ღერძი
—	ანტიკლინის ღერძი
— — —	ტექტონიკური რღვევები:
⇒	თოვლის ზვავი
↗	მდინარის ნაპირების გამორეცხვა (გვერდითი ეროზია)
↕	ქვაცვენა
—	ზედაპირის წყლის დროებითი ნაკადები
◪ TP-4	შურფი და მისი ნომერი
⦿ BH-5	ჭაბურღილი და მისი ნომერი
• VES-24	ვერტიკალური ელექტროზონდირების წერტილი და მისი ნომერი
■ 12	კლდოვანი ქანების ნაჩენიდან ნიმუშის აღების ადგილი და მისი ნომერი
● 2	გრუნტის წყლის სინჯის აღების ადგილი და მისი ნომერი
1-3	საფარი გრუნტის სიმძლავრე
—	საზღვარი ფენებს შორის
⑧ / J_2hd_2	ფენის ნომერი / გეოლოგიური ინდექსი
I ——	განივი საინჟინრო-გეოლოგიური ჭრილი და მისი ნომერი

გრუნტების საინჟინრო-გეოლოგიური კლასიფიკაცია

გრუნტები

ჯგუფი	გენეტიკური ტიპი	პირობითი აღნიშვნა და გეოლოგიური ინდექსი	გრუნტის ფენის №	გრუნტების აღწერა
მსხვილმარცვლოვანი	ხელოვნური ყრილი	tQ_{IV}	1	ტენიანი, ძლიერ ქვიშიანი, მტვეროვან-თიხიანი **ხვინჭა** და ღორღი, ლოდების შემცველობით.
ძალიან მსხვილმარცვლოვანი	კოლუვიური	cQ_{IV}	2	**ლოდნარი** ხვინჭის და ღორღის შემცველობით, ქვიშის და ზოგან ქვიშიანი თიხის შემავსებლით.
		cQ_{IV}	3	ტენიანი, ქვიშიანი, მტვეროვან-თიხიანი **ღორღი** და **ხვინჭა** ლოდების შემცველობით.
მსხვილმარცვლოვანი	კოლუვიურ-დელუვიური	cdQ_{IV}	4	ტენიანი, სუსტად ქვიშიანი, ძლიერ მტვეროვან-**თიხიანი ხვინჭა ღორღის და ლოდების შემცველობით**
	ალუვიური	aQ_{IV}	5	ტენიანი, ქვიშიანი, ძლიერ მტვეროვან-თიხიანი **ხრეში** კენჭების და კაჭარის შემცველობით.
		aQ_{IV}	6	წყალგაჯერებული, ძლიერ ქვიშიანი, სუსტად მტვეროვან-თიხიანი **ხრეში** კენჭების და კაჭარის შემცველობით.

კლდოვანი ქანები

გენეტიკური ტიპი	ტერმინი სიმტკიცის მიხედვით	პირობითი აღნიშვნა და გეოლოგიური ინდექსი	ქანის ფენის №	ქანების აღწერა
ვულკანოგენური (ეფუზიური)	ზომიერად მტკიცე	J_2hd_3	7	ტუფები (40%), ტუფო და ლავური ბრექჩიები (40%) ანდეზიტ-ბაზალტური პორფირიტები (20%)-შუა იურული. ხოჯალის წყების მესამე ქვეწყება
	მტკიცე და ზომიერად მტკიცე	J_2hd_2	8	ანდეზიტ-ბაზალტური პორფირიტული ლავები (80%), კონგლომერატ-ბრექჩიები (10%) და ტუფობრექჩიები (10%)-შუა იურული. ხოჯალის წყების მეორე ქვეწყება
		J_2hd_1	9	ტუფები (50%) და ანდეზიტ-ბაზალტები (50%) - შუა იურული. ხოჯალის წყების პირველი ქვეწყება
ზღვიური დანალექი		J_2s_2	10	წვრილმარცვლოვანი ქვიშაქვების და თიხაფიქლების მორიგეობა (50%/50%) - შუა იურული. ზედა სორის ქვეწყება
ინტრუზიული	მტკიცე	$\beta\mu J_2$	11	დიაბაზური პორფირიტი

Sps jeoinJiniringi
საინჟინრო კვლევა-ძიება, დაპროექტება, მშენებლობა
GEOENGINEERING

“დარჩი ჰესის"
სამშენებლო ტერიტორიის
საინჟინრო-გეოლოგიური გამოკვლევა

საინჟინრო-გეოლოგიური რუკა

GC-1753-1

ფურცელი №1 **რაოდენობა-1**

თარიღი: 2018 წელი